

Búsqueda de desintegraciones hadrónicas de los bosones gauge Z_H y W_H en el modelo Little Higgs para el experimento ATLAS

S. González de la Hoz¹, L. March², E. Ros²

¹ CERN, European Organization for Nuclear Research

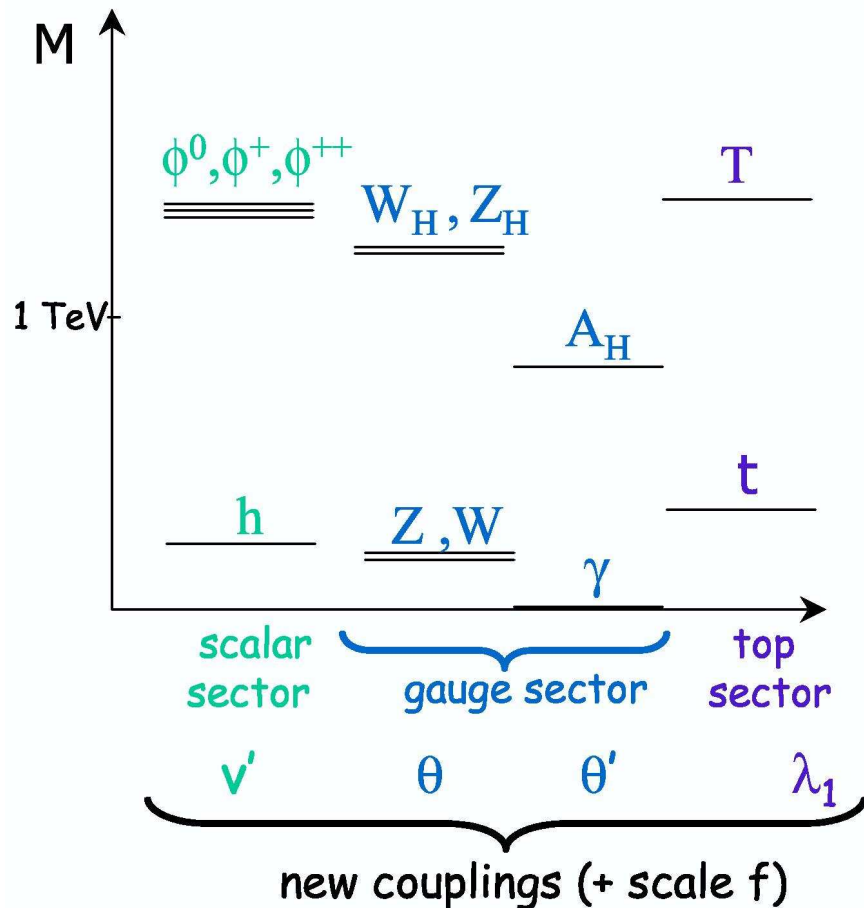
² IFIC - Valencia

ATL-COM-PHYS-2005-001

Presentado por: L. March



Modelo Little Higgs



Teoría

- *Arkani-Hamed et al., JHEP 207 (2002) 34*

Fenomenología

- *Han et al. Phys. Rev. D67 (2003) 95004*

Búsqueda en ATLAS

- *Exploring Little Higgs models with ATLAS at LHC*

G. Azuelos et al., ATLAS Note

SN-ATLAS-2004-038

Búsqueda en ATLAS

Ya publicadas

Desintegraciones

$$Z_H \rightarrow e^+ e^-$$

$$W_H \rightarrow e \nu_e$$

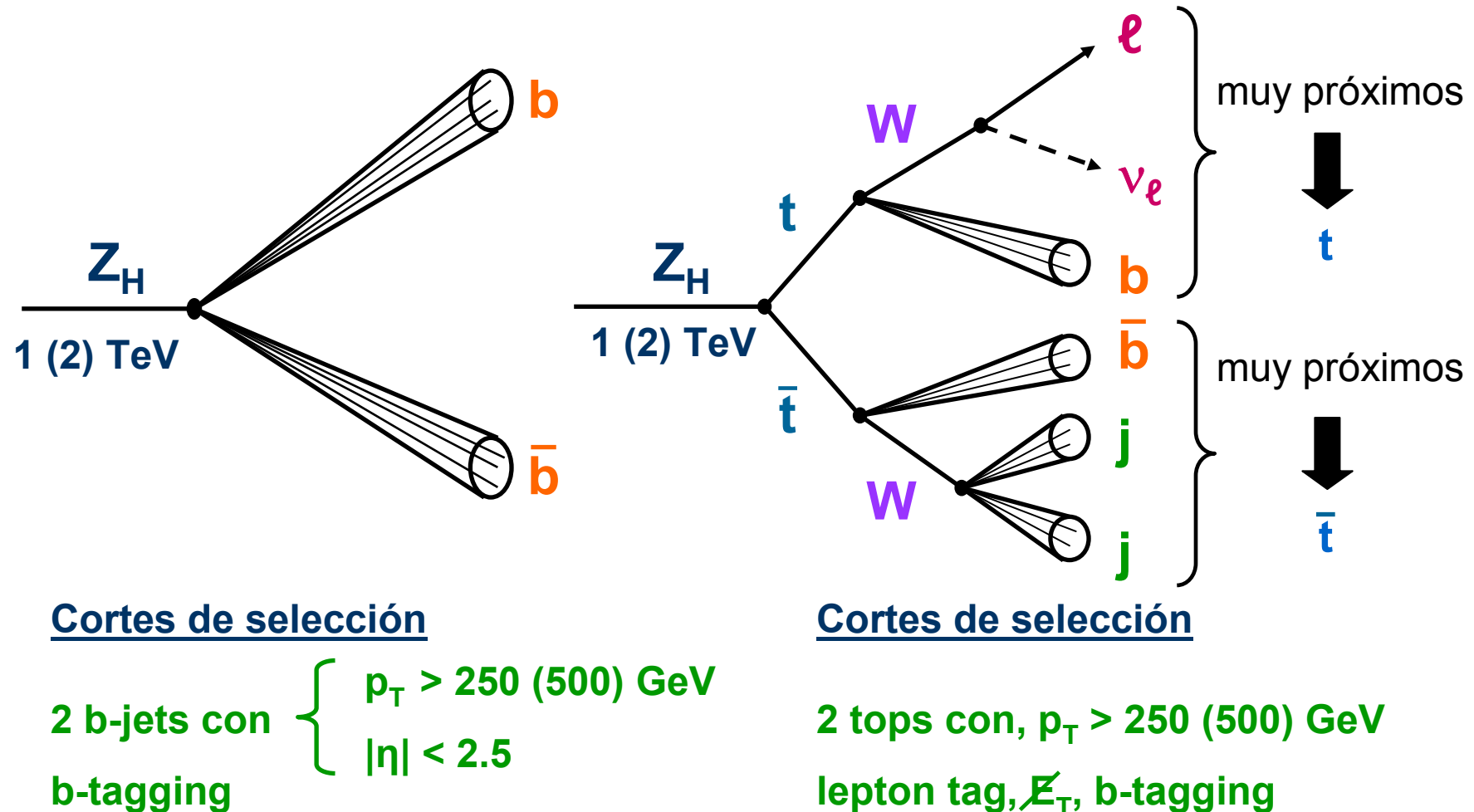
Límites de
descubrimiento
($\cot\theta = 1$)

$$M(Z_H) \sim 5 \text{ TeV} \quad M(W_H) \sim 5.5 \text{ TeV}$$

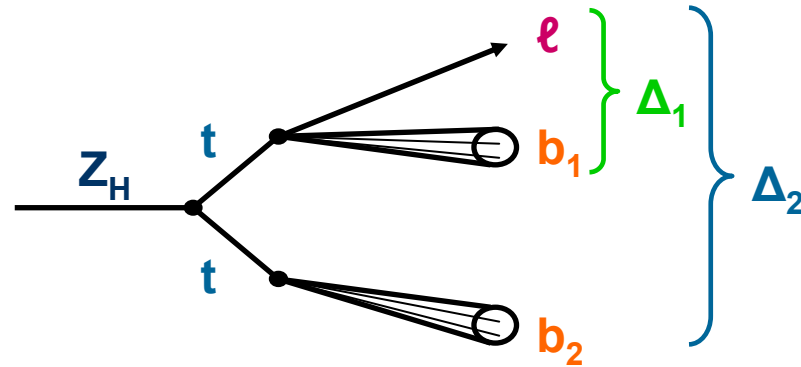
En este análisis

$$Z_H \rightarrow \begin{cases} b \bar{b} \\ t \bar{t} \end{cases} \quad W_H \rightarrow t b$$

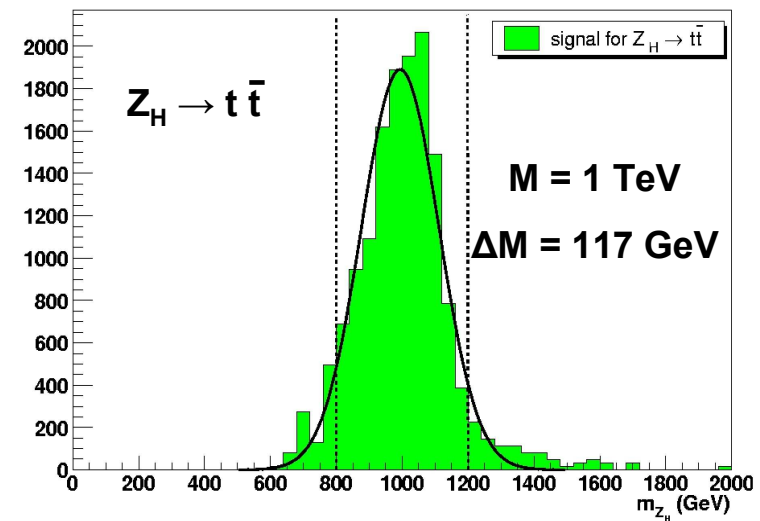
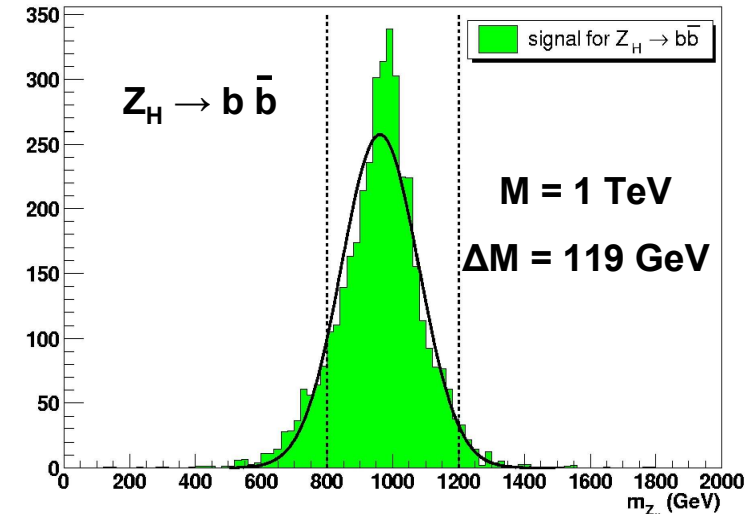
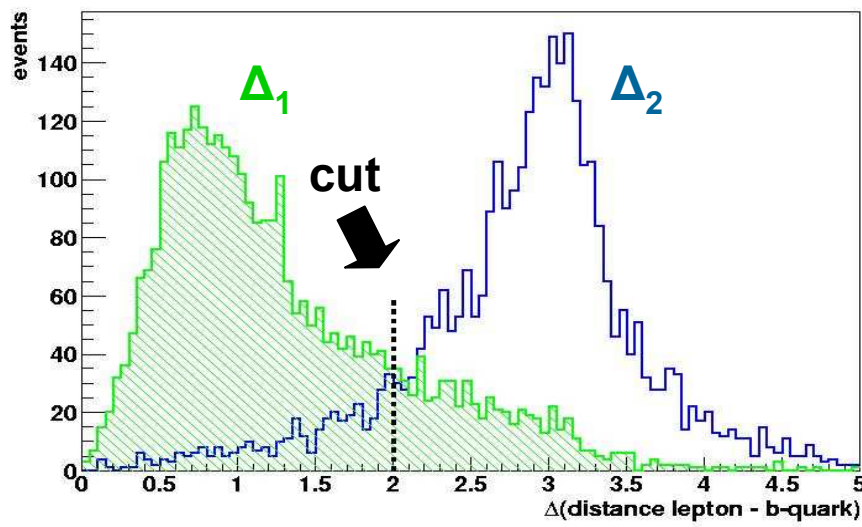
$Z_H \rightarrow b\bar{b}$ and $Z_H \rightarrow t\bar{t}$



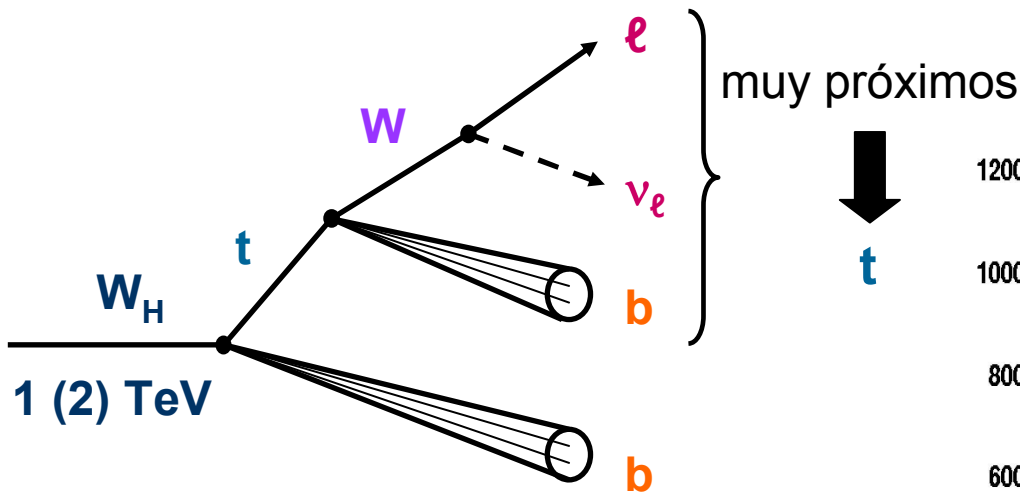
Identificación y reconstrucción de la masa



$$\Delta = \sqrt{(\Delta\phi)^2 + (\Delta\eta)^2}$$



$W_H \rightarrow t b$

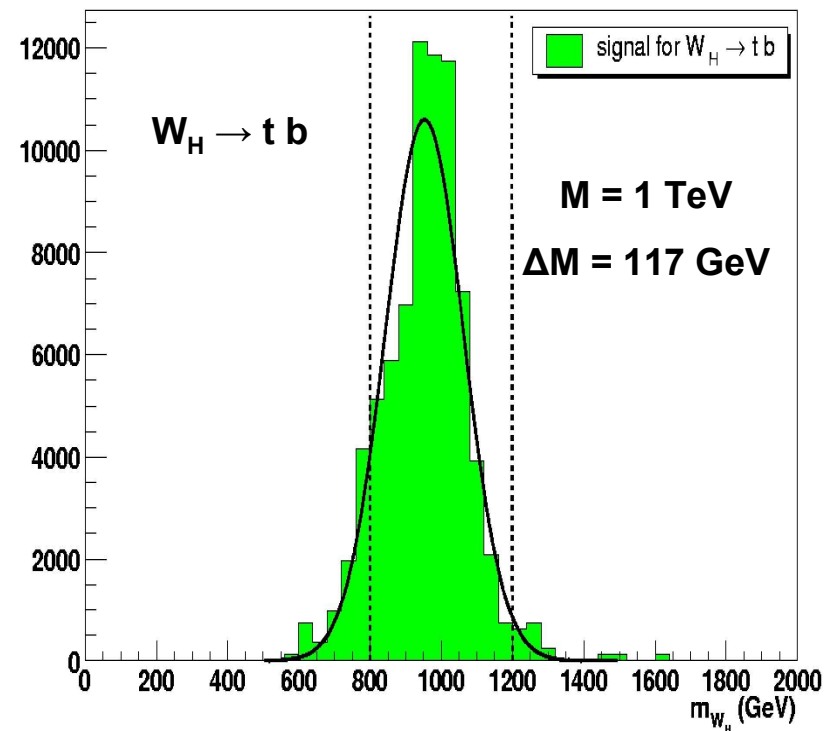


Cortes de selección

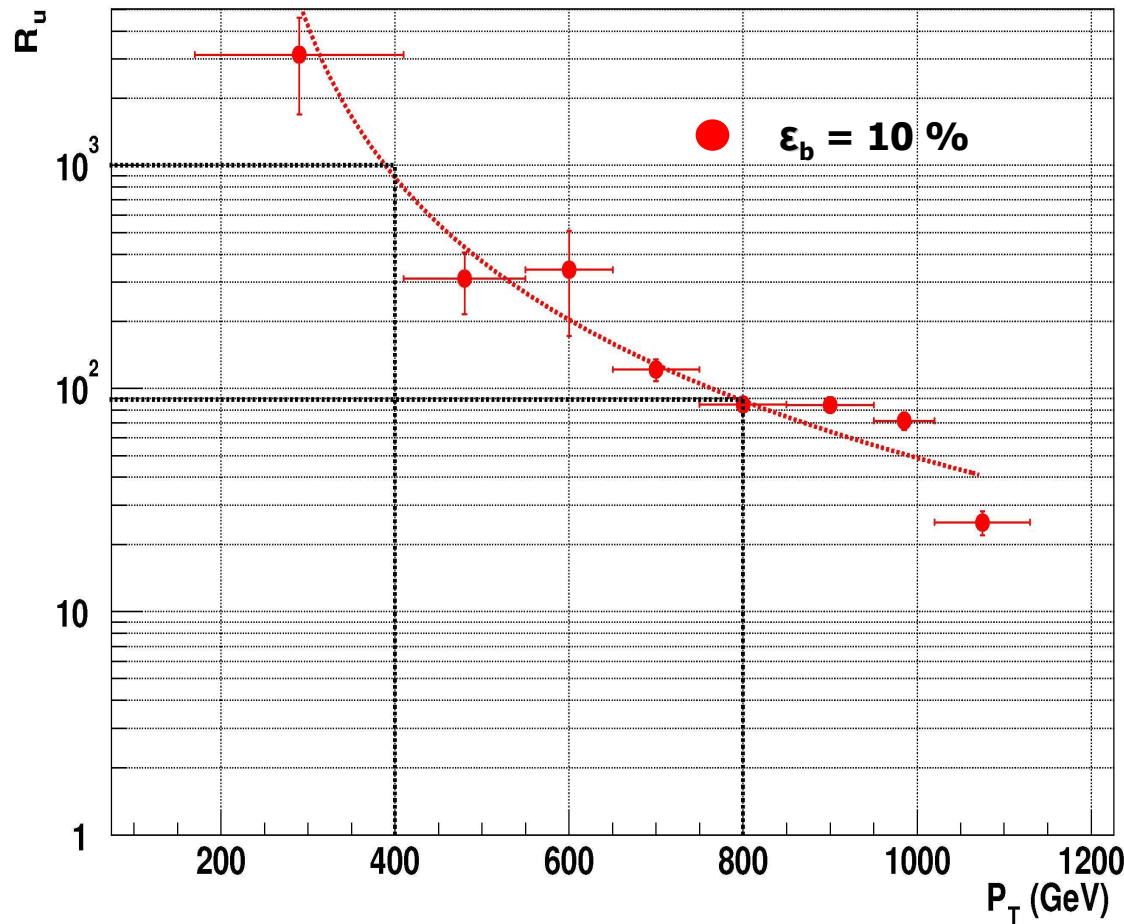
p_T (top) > 250 (500) GeV

p_T (b-jet) > 250 (500) GeV

lepton tag, E_T , b-tagging



b-tagging



muestras de DC1:

Z_H (2 TeV) $\rightarrow b \bar{b}, c \bar{c}, u \bar{u}$

Z_H (1 TeV) $\rightarrow b \bar{b}$

$\langle p_T(b) \rangle = 400 \text{ GeV}$

$R_u = 10^3$

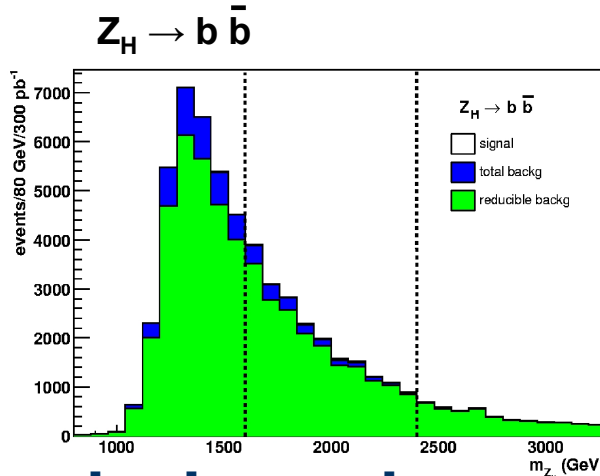
Z_H (2 TeV) $\rightarrow b \bar{b}$

$\langle p_T(b) \rangle = 800 \text{ GeV}$

$R_u = 10^2$

Señal y fondo ($M = 2 \text{ TeV}$)

$$\mathcal{L} = 3 \cdot 10^5 \text{ pb}^{-1} \quad \cot\theta = 1$$

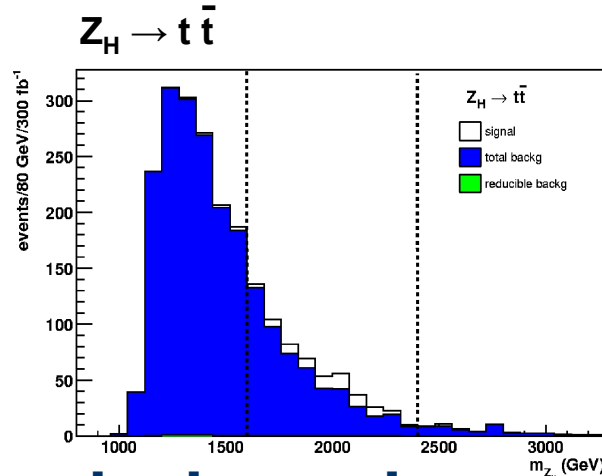


background

irreducible: $b \bar{b} X$

reducible: $jj X$

$$\frac{S}{\sqrt{B}} = 1.2$$

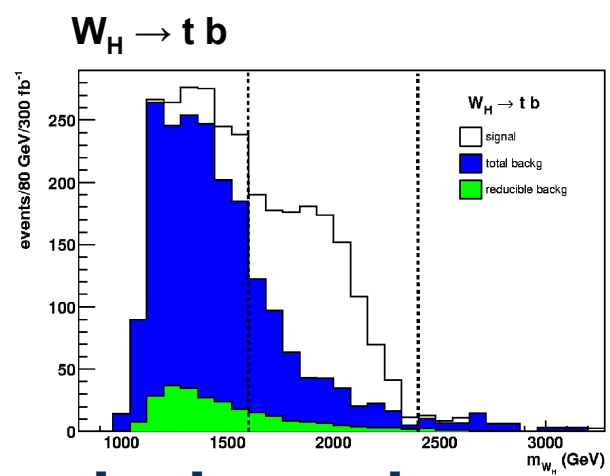


background

irreducible: $t \bar{t} X$

reducible: $W + \text{jets}$

$$\frac{S}{\sqrt{B}} = 3.2$$



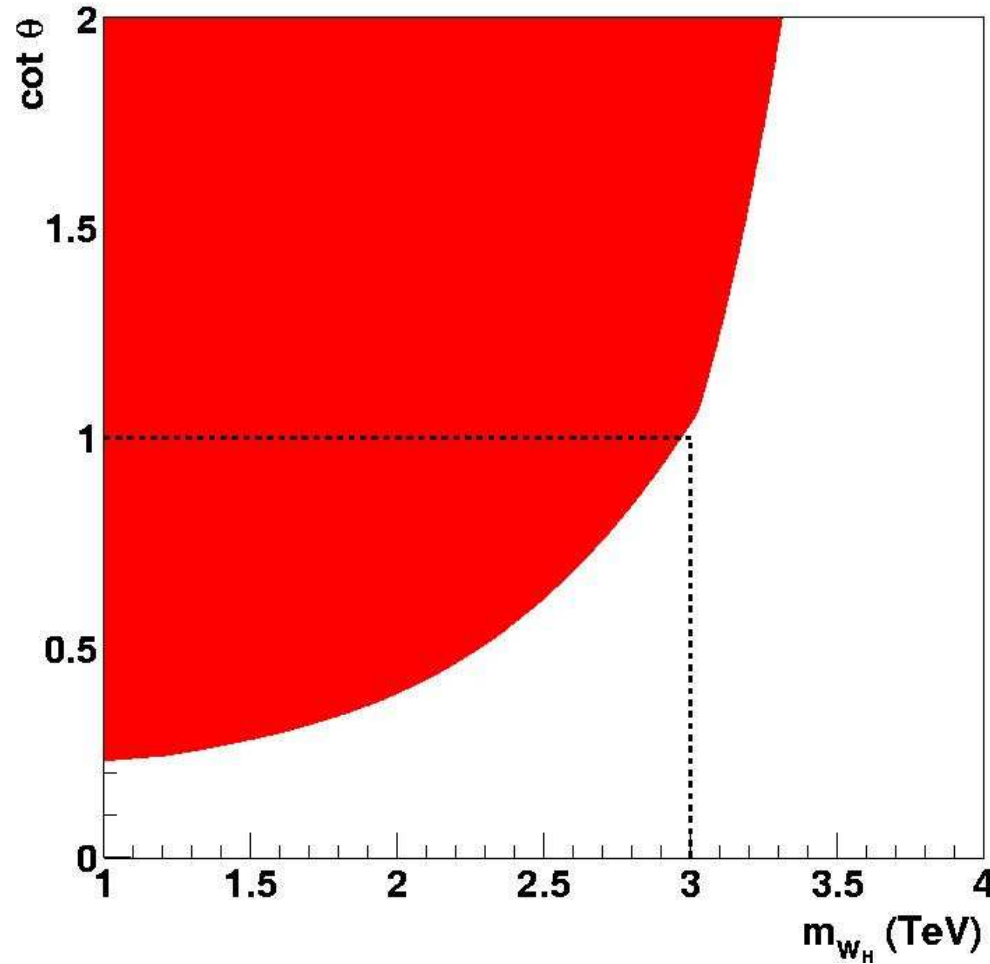
background

irreducible: $t \bar{t} X$

reducible: $W + \text{jets}$

$$\frac{S}{\sqrt{B}} = 37.6$$

Región de descubrimiento para $W_H \rightarrow t\bar{b}$



$\mathcal{L} = 3 \cdot 10^5 \text{ pb}^{-1}$
 $S/\sqrt{B} > 5$
 $N > 10$

Conclusiones y perspectivas de futuro

Conclusiones

$Z_H \rightarrow b\bar{b}, t\bar{t}$ difícil de observar

$W_H \rightarrow tb$ puede observarse hasta $M(W_H) \sim 3$ TeV

Si $W_H \rightarrow tb$ se observara, sería posible comprobar el modelo Little Higgs

$$\frac{BR(W_H \rightarrow tb)}{BR(W_H \rightarrow e\nu)} = 3$$

Perspectivas de futuro

ATLFAST  full simulation